

# Gradien Based Optimization

Μέθοδοι Βελτιστοποίησης  
Δεύτερη Υποχρεωτική Εργασία

Εθνικό Μετσόβιο Πολυτεχνείο  
Σχολή Μηχανολόγων Μηχανικών



Ονοματεπώνυμο: Παπαδάκης Μιχαήλ  
Αριθμός Μητρώου: 02118026  
Ακαδημαϊκό έτος: 3<sup>ο</sup>  
Ημερομηνία: 11/1/22

K1 = 6

## Περιεχόμενα

<b>1</b>	<b>Εισαγωγή</b>	<b>2</b>
<b>2</b>	<b>Τμήμα 2.1</b>	<b>2</b>
2.1	Τμήμα 2.1.α - Διακριτοποίηση χωρίου και επίλυση primal . . . . .	2
2.2	Τμήμα 2.1.β - Εύρεση παραγώγων . . . . .	3
2.2.1	Ευθεία διαφύριση . . . . .	3
2.2.2	Συνεχή συζυγής μέθοδος . . . . .	4
2.2.3	Διακριτή συζυγής μέθοδος . . . . .	5
2.2.4	Πεπερασμένες Διαφορές . . . . .	7
2.2.5	Σύγκριση Μεθόδων . . . . .	7
2.3	Τμήμα 2.1.γ - Κύκλοι Βελτιστοποίησης . . . . .	7
2.4	Τμήμα 2.1.δ - Διερεύνηση βήματος η . . . . .	9
2.5	Τμήμα 2.1.ε - Υπολογιστικό κόστος . . . . .	9
<b>3</b>	<b>Τμήμα 2.2</b>	<b>11</b>
3.1	Τμήμα 2.2.α - Αλγοριθμική Διαφύριση . . . . .	11
3.2	Τμήμα 2.2.β - Μιγαδική Διαφύριση . . . . .	14
<b>4</b>	<b>Παράρτημα - Προγράμματα</b>	<b>15</b>

## Κατάλογος Πινάκων

1	Σύγκριση Βήματος Πεπερασμένων διαφορών . . . . .	7
2	Σύγκριση Παραγώγων μεταξύ των μεθόδων . . . . .	8
3	Σύγκριση βήματος Πεπερασμένων Διαφορών . . . . .	11
4	Σύγκριση παραγώγων Αλγοριθμικής Διαφύρισης ( forward και backwards mode) με πεπερασμένες διαφορές. . . . .	13
5	Σύγκριση παραγώγων με μιγαδικές μεταβλητές ανάλογα την τιμή του βήματος ε . . .	14

## Κατάλογος Σχημάτων

1	Δοκιμές διακριτοποίησης για επιλογή βήματος runge-kutta . . . . .	3
2	Σύγκλιση Βελτιστοποίησης με την μέθοδο ευθείας διαφύρισης . . . . .	8
3	Σύγκλιση Βελτιστοποίησης με την συνεχή συζυγή μέθοδο . . . . .	9
4	Σύγκλιση Βελτιστοποίησης με την διακριτή συζυγή μέθοδο . . . . .	9
5	Σύγκριση σύγκλισης για διάφορες τιμές του $\eta_{desirable}$ . . . . .	10
6	Σύγκριση κατανομή πάχους που επιτεύχθηκε σε σχέση με την κατανομή-στόχο . . .	10
7	Βελτιστοποίηση βαθμού απόδοσης πτερυγώσεων για $e_{min} = 0.125$ . . . . .	13

## 1. Εισαγωγή

Στην εργασία γίνεται εύρεση παραγώγων με διάφορες τεχνικές. Υπάρχουν δυο προβλήματα, ένα με σκοπό να κατανοηθούν οι βασικές τεχνικές παραγωγίσης (direct differentiation, continuous and discrete adjoint ) και ένα δεύτερο πιο απλό με σκοπό να εξερευνηθούν άλλες τεχνικές παραγωγίσης (complex differentiation, algorithmic-automatic differentiation ).

## 2. Τμήμα 2.1

Το αντικείμενο του πρώτου μέρους είναι ένα πρόβλημα αντίστροφου σχεδιασμού, όπου το ζητούμενο είναι το ύψος του οριακού στρώματος σε μια επίπεδη πλάκα, σε μια ασυμπίεστη ροή με σταθερή πίεση κατά μήκος του άξονα  $x$ , που δίνεται από τον τύπο 1 με την οριακή συνθήκη 2, να πλησιάσει όσο περισσότερο γίνεται μια επιθυμητή κατανομή που δίνεται από τον τύπο 3.

$$\delta \frac{d\delta}{dx} = \frac{\pi^2 v}{(4 - \pi)u_e} \quad (1)$$

$$\delta|_{x=0} = \delta_o = 2 + K1 = 2 + 6 = 8 [mm] \quad (2)$$

$$\delta_{target} = \delta_o(1 + 10x - 5x^2) \quad (3)$$

Οι ελεύθερες μεταβλητές ( design variables ) του προβλήματος είναι η συνεκτικότητα του ρευστού  $v$ , και η ταχύτητα στα όρια του οριακού στρώματος  $u_e$  η οποία είναι σταθερή κατά  $x$ . Η αντικειμενική συνάρτηση, η οποία πρέπει να ελαχιστοποιηθεί ορίστηκε ως<sup>1</sup>:

$$F = \int_0^1 (\delta - \delta_{target})^2 dx \quad (4)$$

Το πρώτο βήμα για την επίλυση του παραπάνω προβλήματος βελτιστοποίησης είναι η λύση του primal προβλήματος.

### 2.1 Τμήμα 2.1.α - Διακριτοποίηση χωρίου και επίλυση primal

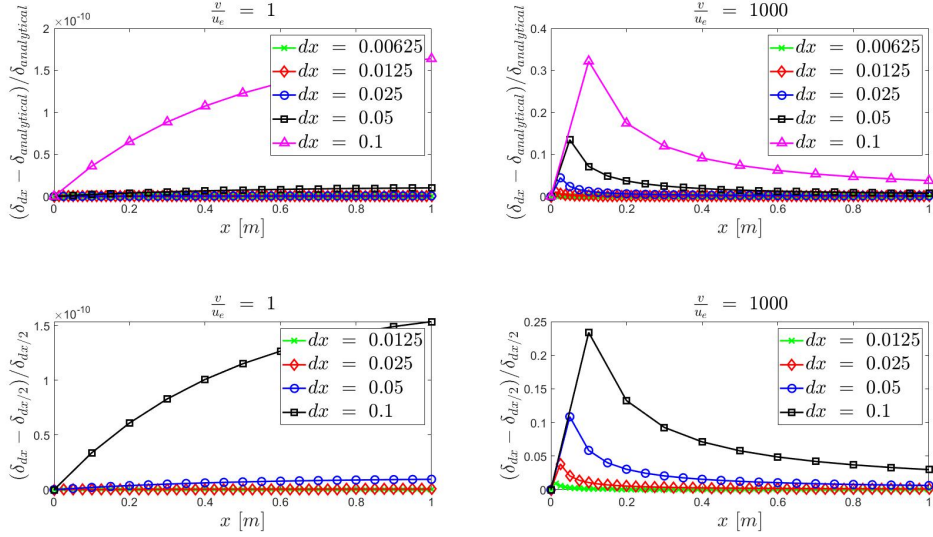
Για την επίλυση της εξίσωσης 1 επιλέχθηκε η μέθοδος Runge-Kutta τέταρτης τάξης. Βέβαια, η λύση μπορεί να προκύψει και με αναλυτικό τρόπο, ο οποίος θα παρατεθεί απλώς για λόγους σύγκρισης καθώς σε πραγματικά προβλήματα δεν θα υπάρχει η αναλυτική λύση του πρωτεύοντος προβλήματος. Η αναλυτική λύση είναι:

$$\delta = \sqrt{\frac{2\pi^2 v}{(4 - \pi)u_e} x + \delta_o^2} \quad (5)$$

Ακολουθεί η διερεύνηση της διακριτοποίησης για την επίλυση του πρωτεύοντος προβλήματος ώστε τα αποτελέσματα να είναι ικανοποιητικής ακρίβειας. Καταρχάς, παρατηρήθηκε πως ανάλογα με τον λόγο  $v/u_e$  μπορεί να απαιτείται πυκνότερη διακριτοποίηση. Για αυτό τον λόγο, η σύγκριση διαφορετικών διακριτοποιήσεων γίνεται για 2 διαφορετικές τιμές του λόγου  $v/u_e$ , ώστε να ληφθεί βήμα που ανταποκρίνεται σε όλες τις περιπτώσεις. Ακολουθούν διαγράμματα που συγκρίνουν την αριθμητική λύση που προκύπτει με ένα βήμα  $dx$  με μια άλλη λύση που έχει το υποδιπλάσιο βήμα. Όσο η τιμή αυτή πάει στο 0, τόσο η λύση που προκύπτει είναι ανεξάρτητη της διακριτοποίησης. Μάλιστα, για να κανονικοποιηθεί το αποτέλεσμα, η διαφορά  $\delta_{dx} - \delta_{dx/2}$  διαιρείται με το  $\delta_{dx/2}$ . Στο ίδιο σχήμα υπάρχει και η σύγκριση με την αναλυτική λύση για λόγους εποπτείας. **Στην πραγματικότητα στη διάθεση μας θα είναι μόνο το σχετικό σφάλμα ανάλογα με την διακριτοποίηση.**

Από το σχήμα 1 παρατηρείται πως με βήμα 0.0125 επιτυγχάνεται σχετικό σφάλμα μικρότερο του 1% το οποίο κρίνεται ικανοποιητικό. Μάλιστα, για μικρότερο λόγο  $v/u_e$  το σχετικό σφάλμα είναι αμελητέο. Ωστόσο, τελικά το βήμα επιλέχθηκε ως το μισό από αυτό, για να μπορέσει να υλοποιηθεί και η ευθεία διαφόριση. Αυτό θα εξηγηθεί και παρακάτω.

<sup>1</sup>Το τετράγωνο απορροφά τις διαφορές προσήμου, ενώ ο όρος  $dx$  απορροφά την επίδραση της διακριτοποίησης.



Σχήμα 1: Δοκιμές διακριτοποίησης για επιλογή βήματος runge-kutta

## 2.2 Τμήμα 2.1.β - Εύρεση παραγώγων

### 2.2.1 Ευθεία διαφορίση

Στην ευθεία διαφορίση αρχικά διαφορίζεται η αντικειμενική συνάρτηση:

$$\frac{dF}{db_i} = \frac{d}{db_i} \int_0^1 (\delta - \delta_{target})^2 dx = \int_0^1 2(\delta - \delta_{target}) \frac{d\delta}{db_i} dx \quad (6)$$

Συνεπώς, πρέπει να βρεθεί η παράγωγος  $\frac{d\delta}{db_i}$ . Έτσι, παραγωγίζονται οι σχέσεις του πρωτεύοντος προβλήματος (Αφού μετασχηματιστεί στη σχέση 7) οι οποίες παρουσιάζονται στις σχέσεις 8,9.

$$\frac{d\delta}{dx} = \frac{\pi^2 v}{(4 - \pi)u_e} \frac{1}{\delta} \quad (7)$$

Διαφορίζοντας προκύπτει:

$$\frac{d}{db_i} \left( \frac{d\delta}{dx} \right) = \frac{d}{db_i} \left( \frac{\pi^2 v}{(4 - \pi)u_e} \frac{1}{\delta} \right) = \frac{d}{db_i} \left( \frac{\pi^2 v}{(4 - \pi)u_e} \right) \frac{1}{\delta} + \frac{\pi^2 v}{(4 - \pi)u_e} \frac{d}{db_i} \left( \frac{1}{\delta} \right)$$

Επειδή η μεταβλητή  $x$  δεν εξαρτάται από τις μεταβλητές σχεδιασμού, μπορεί να αλλάξει η σειρά διαφορίσης στο αριστερό μέλος. Έτσι, προκύπτουν οι σχέσεις:

$$\frac{d}{dx} \left( \frac{d\delta}{db_1} \right) = - \frac{\pi^2 v}{(4 - \pi)u_e} \frac{1}{\delta^2} \frac{d\delta}{db_1} + \frac{\pi^2 v}{(4 - \pi)u_e} \frac{1}{\delta} \quad (8)$$

$$\frac{d}{dx} \left( \frac{d\delta}{db_2} \right) = - \frac{\pi^2 v}{(4 - \pi)u_e} \frac{1}{\delta^2} \frac{d\delta}{db_2} - \frac{\pi^2 v}{(4 - \pi)u_e^2} \frac{1}{\delta} \quad (9)$$

Θεωρώντας σαν αγνώστους τις μεταβλητές  $\frac{d\delta}{db_i}$ , οι σχέσεις 8,9 είναι δυο γραμμικές διαφορικές εξισώσεις οι μάλιστα είναι απεμπλεγμένες και συνεπώς λύνονται ξεχωριστά. Σαν οριακή συνθήκη στις παραπάνω διαφορικές πάρθηκε:

$$\left. \frac{d\delta}{db_i} \right|_{x=0} = 0 \quad (10)$$

επειδή  $\delta(0) = \delta_o$  ανεξάρτητα από την επιλογή των μεταβλητών σχεδιασμού. Χρησιμοποιείται ξανά η μέθοδος Runge-Kutta 4ης τάξης, σε μια παραλλαγή, καθώς η συνάρτηση δέχεται και τα  $\delta(x)$  τα οποία θεωρούνται γνωστά κατά την επίλυση. Καθώς όμως στην Runge-Kutta πρέπει κατά την διαδικασία να βρεθούν τιμές ενδιάμεσα από τους κόμβους (δηλαδή οι τιμές  $\delta_{i+dx/2}$ )

πρέπει είτε να χρησιμοποιηθεί η 1 ώστε σε κάθε βήμα να υπολογίζονται οι ενδιάμεσες τιμές του πάχους, είτε το βήμα επίλυσης των διαφορικών 8,9 να είναι το διπλάσιο του βήματος επίλυσης του primal . Εδώ χρησιμοποιήθηκε η δεύτερη προσέγγιση.

Αφού επιλυθούν οι παραπάνω σχέσεις, προκύπτουν τα  $\frac{d\delta}{db_i}(x)$ . Έτσι, επιστρέφοντας στη σχέση 6 μπορεί να γίνει ο υπολογισμός των παραγώγων ευαισθησίας. Χρησιμοποιείται η μέθοδος simpson 1/3 για την ολοκλήρωση.

### 2.2.2 Συνεχή συζυγής μέθοδος

Αρχικά, η αντικειμενική γράφεται ως:

$$F = \int_0^1 (\delta - \delta_{target})^2 dx + \int_0^1 \Psi(\delta \frac{d\delta}{dx} - \underbrace{\frac{\pi^2 v}{(4-\pi)u_e}}_K) dx \quad (11)$$

Το δεύτερο ολοκλήρωμα ισούται με μηδέν λόγω της 1. Συνεπώς, δεν αλλάζει η τιμή της αντικειμενικής! Παραγωγίζοντας την παραπάνω σχέση:

$$\frac{dF}{db_i} = \int_0^1 2(\delta - \delta_{target}) \frac{d\delta}{db_i} dx + \underbrace{\int_0^1 \Psi \frac{d}{db_i} (\delta \frac{d\delta}{dx} - K) dx}_{T1} + \underbrace{\int_0^1 \frac{d\Psi}{db_i} (\delta \frac{d\delta}{dx} - \frac{\pi^2 v}{(4-\pi)u_e}) dx}_{=0} \quad (12)$$

Κάνοντας τις πράξεις μόνο στο  $T1$  προκύπτει:

$$T1 = \int_0^1 \Psi (\frac{d\delta}{db_i} \frac{d\delta}{dx} + \delta \frac{d}{db_i} \frac{d\delta}{dx} - \frac{dK}{db_i}) dx$$

$$T1 = \int_0^1 \Psi \frac{d\delta}{dx} \frac{d\delta}{db_i} dx - \int_0^1 \Psi \frac{dK}{db_i} dx + \underbrace{\int_0^1 \Psi \delta \frac{d}{db_i} \frac{d\delta}{dx} dx}_{T2}$$

Η αλλαγή σειράς παραγωγίσης στο τελευταίο ολοκλήρωμα γίνεται επειδή η μεταβλητή  $x$  δεν εξαρτάται από τις μεταβλητές σχεδιασμού. Με παραγοντική ολοκλήρωση, ο όρος  $T2$ :

$$T2 = \Psi \delta \frac{d\delta}{db_i} \Big|_0^1 - \int_0^1 \frac{d\Psi}{dx} \delta \frac{d\delta}{db_i} dx$$

$$T2 = \underbrace{\Psi \delta \frac{d\delta}{db_i} \Big|_0}_{=0} - \Psi \delta \frac{d\delta}{db_i} \Big|_1 - \int_0^1 (\frac{d\Psi}{dx} \delta + \Psi \frac{d\delta}{dx}) \frac{d\delta}{db_i} dx$$

Ο πρώτος όρος είναι μηδέν καθώς  $\delta(0) = \delta_o$  ανεξάρτητα από την επιλογή των μεταβλητών σχεδιασμού. Συνεπώς, ο όρος  $T1$  γίνεται:

$$T1 = \int_0^1 \frac{d\delta}{db_i} (\Psi \frac{d\delta}{dx} - \frac{d\Psi}{dx} \delta - \Psi \frac{d\delta}{dx}) dx - \int_0^1 \Psi \frac{dK}{db_i} dx - \Psi \delta \frac{d\delta}{db_i} \Big|_1$$

$$T1 = \int_0^1 \frac{d\delta}{db_i} (-\frac{d\Psi}{dx} \delta) dx - \int_0^1 \Psi \frac{dK}{db_i} dx - \Psi \delta \frac{d\delta}{db_i} \Big|_1$$

Οπότε η αρχική σχέση γίνεται:

$$\frac{dF}{db_i} = \int_0^1 2(\delta - \delta_{target}) \frac{d\delta}{db_i} dx + \underbrace{\int_0^1 \frac{d\delta}{db_i} (-\frac{d\Psi}{dx} \delta) dx}_A - \underbrace{\int_0^1 \Psi \frac{dK}{db_i} dx}_B - \underbrace{\Psi \delta \frac{d\delta}{db_i} \Big|_1}_C \quad (13)$$

Σκοπός της adjoint είναι η αποφυγή υπολογισμού της  $\frac{d\delta}{db_i}$ , και συνεπώς προκύπτει πως το  $\Psi$  πρέπει να επιλεγεί ώστε οι όροι  $A, C$  να μηδενίζονται. Έτσι, προκύπτει η Field Adjoint Equation

(FAE) που φαίνεται στη σχέση 14 με οριακές συνθήκες Adjoint Boundary Conditions που φαίνονται στη σχέση 15.

$$\frac{d\Psi}{dx} = \frac{2(\delta - \delta_{target})}{\delta} \quad (14)$$

$$\Psi|_1 = 0 \quad (15)$$

Καθώς η σχέση 14 στο δεξί μέρος είναι συνάρτηση μόνο του  $\delta(x)$ , η λύση της διαφορικής προκύπτει με ολοκλήρωση. Για την υλοποίησή της χρησιμοποιείται η συνάρτηση cumtrapz της matlab. Η συνάρτηση αυτή χρησιμοποιεί τη μέθοδο τραπεζίου και βρίσκει την τιμή της  $\Psi$  για κάθε  $x_i$  ολοκληρώνοντας μέχρι εκείνο το  $x_i$ . Η συνάρτηση cumtrapz δίνει  $\Psi(0) = 0$ , και  $\Psi(1) \neq 0$ . Για να εφαρμόσουμε την οριακή συνθήκη 15, αφαιρείται το  $\Psi(1)$ .

Έχοντας πια λύσει την FAE, και επιστρέφοντας στη σχέση 13, μπορούν να υπολογιστούν οι παράγωγοι ευαισθησίας, χρησιμοποιώντας τον όρο  $B$ , καθώς είναι διαθέσιμο το  $\Psi(x)$ , και η παράγωγος  $\frac{dK}{db_i}$  υπολογίζεται αναλυτικά. Τελικά, οι παράγωγοι ευαισθησίας δίνονται από τον τύπο 16. Τα αποτελέσματα θα παρατεθούν μαζί με τις άλλες μεθόδους για απευθείας σύγκριση.

$$\frac{dF}{db} = - \int_0^1 \Psi(x) \left\{ \frac{\pi^2}{(4-\pi)u_e}, \quad -\frac{\pi^2 v}{(4-\pi)u_e^2} \right\}^T dx \quad (16)$$

### 2.2.3 Διακριτή συζυγής μέθοδος

Στην διακριτή μέθοδο, το adjoint γίνεται αφού έχει γίνει πρώτα η διακριτοποίηση του χωρίου για την αριθμητική λύση. Έτσι, η μέθοδο ξεκινάει από μια εξίσωση της μορφής (primal):

$$R(U, b) = 0 \quad (17)$$

Στο συγκεκριμένο πρόβλημα, καθώς το primal λύνεται με τη μέθοδο Runge-Kutta, η παραπάνω εξίσωση είναι η διακριτοποιημένη μορφή της εξίσωσης 7 (δηλαδή  $f = \frac{\pi^2 v}{(4-\pi)u_e} \frac{1}{\delta}$ ):

$$R_i = \delta_i - \underbrace{\left[ \delta_{i-1} + \frac{1}{6}(k_1 + 2k_2 + 2k_3 + k_4) \right]}_{\mu_i} = 0, \quad i > 1 \quad (18)$$

$$R_1 = \delta_1 - \delta_o = 0 \quad (19)$$

με

$$\begin{aligned} k_1 &= \Delta x f(x_{i-1}, \delta_{i-1}) = \Delta x \frac{\pi^2 b_1}{(4-\pi)b_2} \frac{1}{\delta_{i-1}} \\ k_2 &= \Delta x f(x_{i-1} + \Delta x/2, \delta_{i-1} + k_1/2) = \Delta x \frac{\pi^2 b_1}{(4-\pi)b_2} \frac{1}{(\delta_{i-1} + k_1/2)}, \\ k_3 &= \Delta x f(x_{i-1} + \Delta x/2, \delta_{i-1} + k_2/2) = \Delta x \frac{\pi^2 b_1}{(4-\pi)b_2} \frac{1}{(\delta_{i-1} + k_2/2)}, \\ k_4 &= \Delta x f(x_{i-1} + \Delta x, \delta_{i-1} + k_3) = \Delta x \frac{\pi^2 b_1}{(4-\pi)b_2} \frac{1}{(\delta_{i-1} + k_3)}, \end{aligned}$$

Σε πινακοποιημένη μορφή, η εξίσωση 18 γράφεται:

$$\begin{bmatrix} 1 & 0 & 0 & \dots & 0 & 0 \\ \mu_1 & 1 & 0 & \dots & 0 & 0 \\ 0 & \mu_2 & 1 & \dots & 0 & 0 \\ \dots & \dots & \dots & \dots & \dots & \dots \\ 0 & 0 & 0 & \dots & \mu_N & 1 \end{bmatrix} \cdot \begin{Bmatrix} \delta_0 \\ \delta_1 \\ \delta_2 \\ \dots \\ \delta_N \end{Bmatrix} = \begin{Bmatrix} \delta_o \\ 0 \\ 0 \\ \dots \\ 0 \end{Bmatrix} \quad (20)$$

Η επίλυση μπορεί να γίνει με από πάνω προς τα κάτω αντικατάσταση, και έτσι μπορούν να υπολογιστούν και οι συντελεστές  $\mu_i$ , ο οποίοι βρίσκονται στο μητρώο. (Αυτό γίνεται στην πραγματικότητα στην Runge-Kutta). Παραγωγίζοντας την επαυξημένη συνάρτηση:

$$dF_{aug} = dF = \frac{\partial F}{\partial \mathbf{U}} \delta \mathbf{U} + \frac{\partial F}{\partial \mathbf{b}} \delta \mathbf{b} - \underbrace{\Psi^T \left( \frac{\partial \mathbf{R}}{\partial \mathbf{U}} \delta \mathbf{U} + \frac{\partial \mathbf{R}}{\partial \mathbf{b}} \delta \mathbf{b} \right)}_{=0}$$

Ο τελευταίος όρος είναι μηδέν επειδή ισχύει  $\mathbf{R} = 0$ . Μαζεύοντας τους όρους :

$$dF = \left( \frac{\partial F}{\partial \mathbf{U}} - \Psi^T \frac{\partial \mathbf{R}}{\partial \mathbf{U}} \right) \delta \mathbf{U} + \left( \frac{\partial F}{\partial \mathbf{b}} - \Psi^T \frac{\partial \mathbf{R}}{\partial \mathbf{b}} \right) \delta \mathbf{b} \quad (21)$$

Στην ίδια φιλοσοφία με την συνεχή συζήτηση μέθοδο, πρέπει να επιλεγεί  $\Psi$  τέτοιο, ώστε να μηδενισθεί ο πρώτος όρος της εξίσωσης 21. Έτσι, προκύπτει η Field Adjoint Equation .

$$\frac{\partial \mathbf{R}^T}{\partial \mathbf{U}} \Psi = \frac{\partial F}{\partial \mathbf{U}} \quad (22)$$

Η εξίσωση αυτή είναι γραμμική ως προς  $\Psi$ , καθώς το μητρώο  $\frac{\partial \mathbf{R}^T}{\partial \mathbf{U}}$  δεν εξαρτάται από το  $\Psi$ . Για την επίλυσή της, αρχικά πρέπει να βρεθούν τα δυο μητρώα. Για την εύρεση του  $\frac{\partial F}{\partial \mathbf{U}}^T$ , χρησιμοποιείται η σχέση:

$$F = \int_0^1 (\delta - \delta_{target})^2 dx$$

Στην διακριτή μορφή γίνεται:

$$F = \sum_0^N (\delta_i - \delta_{target,i})^2 \Delta x$$

Και παραγωγίζοντας <sup>2</sup>:

$$\frac{\partial F}{\partial U_i} = \frac{\partial F}{\partial \delta_i} = 2(\delta_i - \delta_{target,i}) \Delta x \quad (23)$$

Η εύρεση του  $\frac{\partial \mathbf{R}^T}{\partial \mathbf{U}}$  γίνεται παραγωγίζοντας το μητρώο  $\mathbf{R}$ , δηλαδή τη σχέση 18.

$$\frac{\partial R_i}{\partial U_i} = \frac{\partial R_i}{\partial \delta_i} = 1; \quad (24)$$

$$\frac{\partial R_i}{\partial U_{i-1}} = \frac{\partial R_i}{\partial \delta_{i-1}} = -1 - \frac{1}{6} \left[ \frac{\partial \kappa_1}{\partial \delta_{i-1}} + 2 \frac{\partial \kappa_2}{\partial \delta_{i-1}} + 2 \frac{\partial \kappa_3}{\partial \delta_{i-1}} + \frac{\partial \kappa_4}{\partial \delta_{i-1}} \right] \quad (25)$$

όπου (ορίζοντας ως  $const = \Delta x \frac{\pi^2}{(4-\pi)}$ ,  $k_0 = 0$  και  $\frac{\partial k_0}{\partial \delta_{i-1}} = 0$ ) οι παράγωγοι  $\frac{\partial \kappa_j}{\partial \delta_{i-1}}$  δίνονται από τον τύπο :

$$\frac{\partial \kappa_j}{\partial \delta_{i-1}} = -const \frac{b1}{b2} \frac{1}{(\delta_{i-1} + k_{j-1}/2)^2} \left( 1 + \frac{1}{2} \frac{\partial \kappa_{j-1}}{\partial \delta_{i-1}} \right), \quad \text{για } j = 2, 3 \quad (26)$$

$$\frac{\partial \kappa_j}{\partial \delta_{i-1}} = -const \frac{b1}{b2} \frac{1}{(\delta_{i-1} + k_{j-1})^2} \left( 1 + \frac{\partial \kappa_{j-1}}{\partial \delta_{i-1}} \right), \quad \text{για } j = 1, 4 \quad (27)$$

Συνεπώς, χρησιμοποιώντας τις σχέσεις 24,25,26,27, σχηματίζεται ο πίνακας  $\frac{\partial \mathbf{R}^T}{\partial \mathbf{U}}$ . Η μορφή του είναι:

$$\frac{\partial \mathbf{R}^T}{\partial \mathbf{U}} = \begin{bmatrix} 1 & \frac{\partial R_2}{\partial \delta_1} & 0 & \dots & 0 & 0 \\ 0 & 1 & \frac{\partial R_3}{\partial \delta_2} & \dots & 0 & 0 \\ 0 & 0 & 1 & \dots & 0 & 0 \\ \dots & \dots & \dots & \dots & \dots & \frac{\partial R_n}{\partial \delta_{n-1}} \\ 0 & 0 & 0 & \dots & 0 & 1 \end{bmatrix}$$

Έτσι, η 22 λύνεται με από κάτω προς τα πάνω αντικατάσταση (αντίστοιχα με την ολοκλήρωση από το τέλος της συνεχούς adjoint). Έχοντας βρει το διάνυσμα  $\Psi$ , και γυρνώντας στη σχέση 21, μπορούν να υπολογιστούν οι παράγωγοι ευαισθησίας.

$$\frac{dF}{d\mathbf{b}} = \frac{\partial F}{\partial \mathbf{b}} - \Psi^T \frac{\partial \mathbf{R}}{\partial \mathbf{b}} \quad (28)$$

<sup>2</sup>Για την διακριτή μέθοδο χρησιμοποιήθηκε η μέθοδο του τραπεζίου. Σε αυτή, ο τελευταίος όρος στο άθροισμα πολλαπλασιάζεται με  $\Delta X/2$ . Αυτό λήφθηκε υπόψη στον κώδικα.

Αρχικά, υπολογίζονται οι ποσότητες  $\frac{\partial F}{\partial \mathbf{b}} = \mathbf{0}$  καθώς η αντικειμενική δεν εξαρτάται απευθείας από μεταβλητές σχεδιασμού και  $\frac{\partial \mathbf{R}}{\partial \mathbf{b}}$ . Το δεύτερο, υπολογίζεται μαζί με τα υπόλοιπα κατά τη διάρκεια της επίλυσης. Από τη σχέση 18 προκύπτει:

$$\frac{\partial R_i}{\partial b_i} = 0 \quad (29)$$

$$\frac{\partial R_i}{\partial b_i} = -\frac{1}{6} \left[ \frac{\partial \kappa_1}{\partial b_i} + 2 \frac{\partial \kappa_2}{\partial b_i} + 2 \frac{\partial \kappa_3}{\partial b_i} + \frac{\partial \kappa_4}{\partial b_i} \right] \quad (30)$$

όπου (ορίζοντας ως  $const = \Delta x \frac{\pi^2}{(4-\pi)}$ ,  $k_0 = 0$  και  $\frac{\partial k_0}{\partial b_i} = 0$ ) οι παράγωγοι  $\frac{\partial \kappa_j}{\partial b_i}$  δίνονται από τον τύπο :

$$\frac{\partial \kappa_j}{\partial b_1} = const \frac{1}{b_2} \frac{1}{(\delta_{i-1} + k_{j-1}/2)} - const \frac{b_1}{b_2} \frac{1}{(\delta_{i-1} + k_{j-1}/2)^2} \frac{1}{2} \frac{\partial \kappa_{j-1}}{\partial b_1}, \quad \text{για } j = 2, 3 \quad (31)$$

$$\frac{\partial \kappa_j}{\partial b_1} = const \frac{1}{b_2} \frac{1}{(\delta_{i-1} + k_{j-1})} - const \frac{b_1}{b_2} \frac{1}{(\delta_{i-1} + k_{j-1})^2} \frac{\partial \kappa_{j-1}}{\partial b_1}, \quad \text{για } j = 1, 4 \quad (32)$$

$$\frac{\partial \kappa_j}{\partial b_2} = -const \frac{b_1}{b_2^2} \frac{1}{(\delta_{i-1} + k_{j-1}/2)} - const \frac{b_1}{b_2} \frac{1}{(\delta_{i-1} + k_{j-1}/2)^2} \frac{1}{2} \frac{\partial \kappa_{j-1}}{\partial b_1}, \quad \text{για } j = 2, 3 \quad (33)$$

$$\frac{\partial \kappa_j}{\partial b_2} = -const \frac{b_1}{b_2^2} \frac{1}{(\delta_{i-1} + k_{j-1})} - const \frac{b_1}{b_2} \frac{1}{(\delta_{i-1} + k_{j-1})^2} \frac{\partial \kappa_{j-1}}{\partial b_2}, \quad \text{για } j = 1, 4 \quad (34)$$

Συνεπώς, χρησιμοποιώντας τις σχέσεις 31, 32, 33, 34 και τις σχέσεις 29, 30 προκύπτει το μη-τρώο  $\frac{\partial \mathbf{R}}{\partial \mathbf{b}}$ . Τελικά, χρησιμοποιείται η σχέση 28 και υπολογίζονται οι παράγωγοι ευαισθησίας. Τα αποτελέσματα θα παρατεθούν μαζί με τις άλλες μεθόδους για απευθείας σύγκριση.

#### 2.2.4 Πεπερασμένες Διαφορές

Χρησιμοποιήθηκε το σχήμα των προς πίσω διαφορών (backwards FD). Η σύγκριση του βήματος φαίνεται στον πίνακα 1. Από τον πίνακα φαίνεται πως το βήμα  $e = 1e - 7$  δίνει ακρίβεια 3 δεκαδικού ψηφίου που είναι και η περισσότερη που επιτυγχάνεται. Ύστερα, λαμβάνουν χώρα σφάλματα στρογγυλοποίησης.

e	1e-7	1e-8	1e-9	1e-10	1e-11	1e-12
$\frac{\delta F}{\delta b_1}$	-28.37220790	-28.37222154	-28.37327883	-28.39101398	-28.38760337	-29.55857780
$\frac{\delta F}{\delta b_2}$	141.86091789	141.86058479	141.85741292	141.83910934	141.82433005	138.92531569

Πίνακας 1: Σύγκριση Βήματος Πεπερασμένων διαφορών

#### 2.2.5 Σύγκριση Μεθόδων

Οι παράγωγοι που προκύπτουν από τις 3 μεθόδους παρουσιάζονται στον πίνακα 2. Παρατηρείται πως όλες οι μέθοδοι είναι ίσες μέχρι το έκτο δεκαδικό ψηφίο, εκτός των πεπερασμένων διαφορών, που τους μοιάζουν μέχρι το τρίτο. Ενδιαφέρον παρουσιάζει πως η ευθεία διαφόριση είναι ίδια με την διακριτή συζυγή μέθοδο μέχρι το έβδομο ψηφίο.

### 2.3 Τμήμα 2.1.γ - Κύκλοι Βελτιστοποίησης

Έχοντας τις παραγώγους, μπορεί να υλοποιηθεί ένας κύκλος βελτιστοποίησης με τη μέθοδο της απότομης καθόδου σύμφωνα με τον τύπο:

$$\mathbf{b}^{new} = \mathbf{b}^{old} - \eta \frac{dF}{d\mathbf{b}} \quad (35)$$



	$\frac{\delta F}{\delta b_1}$	$\frac{\delta F}{\delta b_2}$
<b>Finite Differences</b>	-28.3722147287	141.8609281245
<b>Direct Differentiation</b>	-28.3721931234	141.8609656170
<b>Continuous Adjoint</b>	-28.3721930954	141.8609654770
<b>Discrete Adjoint</b>	-28.3721931341	141.8609656707

Πίνακας 2: Σύγκριση Παραγώγων μεταξύ των μεθόδων

Η παραπάνω διαδικασία συνεχίζεται μέχρι να ικανοποιηθεί το παραπάνω κριτήριο σύγκλισης:

$$\frac{|F^{new} - F^{old}|}{F^{old}} < e_{abs} \quad (36)$$

Επιλέχθηκε  $e_{abs} = 1e - 5$ . Επιπλέον, ο συντελεστής  $\eta$  δίνεται από τον τύπο (δηλαδή κανονικοποιείται):

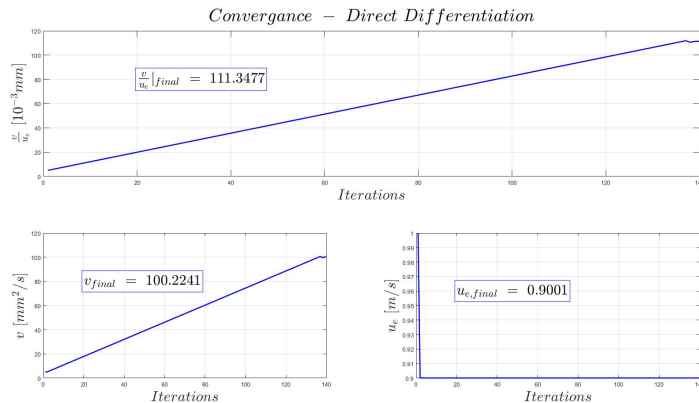
$$\eta = \frac{\eta_{desirable}}{\left\| \frac{dF}{db} \right\|_{i=1}} \quad (37)$$

Ωστόσο, καθώς οι μεταβλητές σχεδιασμού πρέπει να είναι καθαρά θετικές, δημιουργείται ένας έλεγχος για την θετικότητα. Ακολουθείται η ακόλουθη διαδικασία:

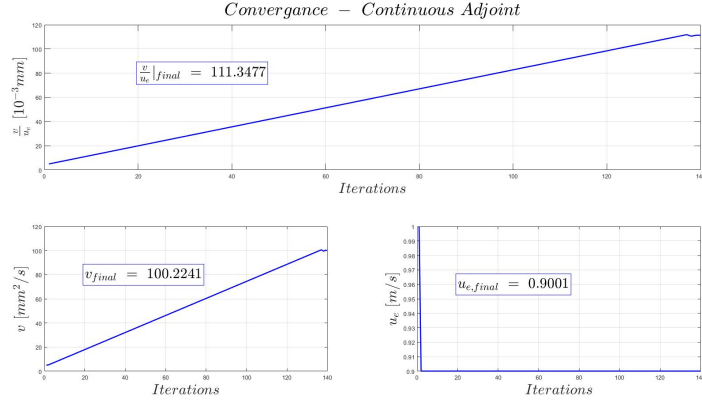
- Έλεγχος αν η μεταβολή θα πάει κάποια μεταβλητή σε αρνητική τιμή. Αν όχι, εφαρμόζεται η σχέση 35.
- Αν ναι, υπολογίζονται το  $\eta_{allowed,i}$  που οδηγεί κάθε μεταβλητή στο μηδέν (Δηλαδή σε  $0 < \varepsilon < <$ ). Σαν  $\eta$  για αυτό τον κύκλο βελτιστοποίησης επιλέγεται το μικρότερο από τα 2  $\eta_{allowed,i}$  πολλαπλασιασμένο με μια τιμή ώστε να μην γίνει η μεταβλητή σχεδιασμού πολύ μικρή.
- Αν σε επόμενο κύκλο η ίδια μεταβλητή ξανά τείνει να γίνει αρνητική, η μεταβλητή αυτή παγώνεται και υπολογίζεται ένα νέο  $\eta$  με βάση τον τύπο 36. Τότε η μέθοδος παύει να είναι **steepest descent** !

Παρακάτω, ακολουθούν τα σχήματα 2,3,4 με την σύγκλιση της βελτιστοποίησης με καθεμία από τις τρεις μεθόδους. Παρατηρείται πως τα αποτελέσματα είναι πρακτικά ακριβώς τα ίδια. Αυτό είναι αναμενόμενο, καθώς οι παράγωγοι διαφέρουν ελάχιστα μεταξύ τους. Σαν αρχικοποίηση λήφθηκαν οι τιμές:

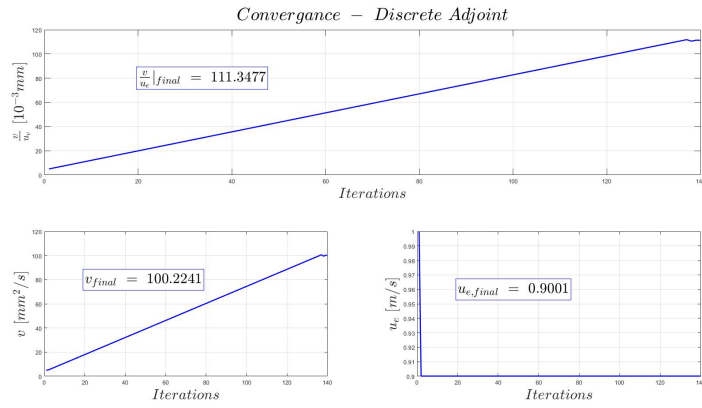
$$\{v, u_e\}^T = \{5 \text{ [mm}^2/\text{s}], 1 \text{ [m/s]}\}^T$$



Σχήμα 2: Σύγκλιση Βελτιστοποίησης με την μέθοδο ευθείας διαφόρισης



Σχήμα 3: Σύγκλιση Βελτιστοποίησης με την συνεχή συζυγή μέθοδο



Σχήμα 4: Σύγκλιση Βελτιστοποίησης με την διακριτή συζυγή μέθοδο

## 2.4 Τμήμα 2.1.δ - Διερεύνηση βήματος $\eta$

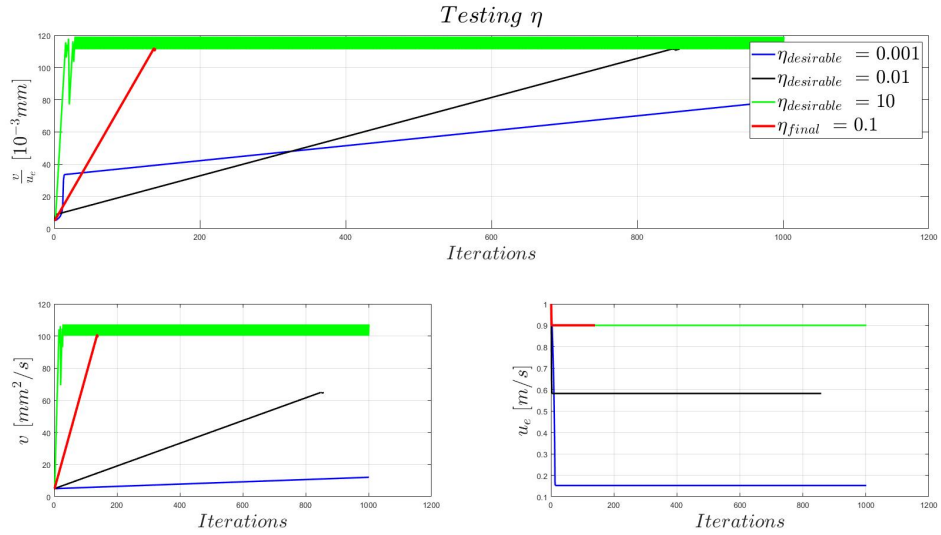
Χρησιμοποιώντας τη συνεχή συζυγή μέθοδο, θα γίνει διερεύνηση της επιλογής του βήματος  $\eta$ . Από τον τρόπο που λήφθηκαν οι περιορισμοί, ουσιαστικά αλλάζει η τιμή του  $\eta_{desirable}$ . Αφού κατά τη διάρκεια, ξαναυπολογίζεται ο συντελεστής  $\eta$ . Τα αποτελέσματα για διάφορες τιμές του  $\eta_{desirable}$  παρουσιάζονται στο σχήμα 5.

## 2.5 Τμήμα 2.1.ε - Υπολογιστικό κόστος

- Οι πεπερασμένες διαφορές λύνουν  $N + 1$  φορές το primal ανά κύκλο βελτιστοποίησης, και συνεπώς το κόστος είναι  $N + 1 TU$  ανά κύκλο βελτιστοποίησης. (  $TU$  time units ). (Πίσω σχήμα)<sup>3</sup>.
- Η ευθεία διαφόριση λύνει το primal και ύστερα λύνει  $N$  διαφορικές εξισώσεις ίδιου βαθμού και συνεπώς αντίστοιχου κόστους. Το τελικό κόστος είναι  $N + 1 TU$  ανά κύκλο βελτιστοποίησης.
- Οι συζυγείς μέθοδοι λύνουν το primal και ύστερα λύνουν και μια ακόμα διαφορική (  $1 FAE$  ανά αντικειμενική συνάρτηση, αλλά εδώ είναι μια ) εξίσωση αντίστοιχου βαθμού από την οποία υπολογίζονται όλες οι παράγωγοι ευαισθησίας. Συνεπώς, το κόστος είναι  $2TU$  ανά κύκλο βελτιστοποίησης.

Καθώς όλες οι μέθοδοι χρειάζονται τον ίδιο αριθμό κύκλων για να συγκλίνουν, και οι μεταβλητές σχεδιασμού ήταν 2 (  $N = 2$  ), οι συζυγείς μέθοδοι το καταφέρνουν στα  $2/3$  του

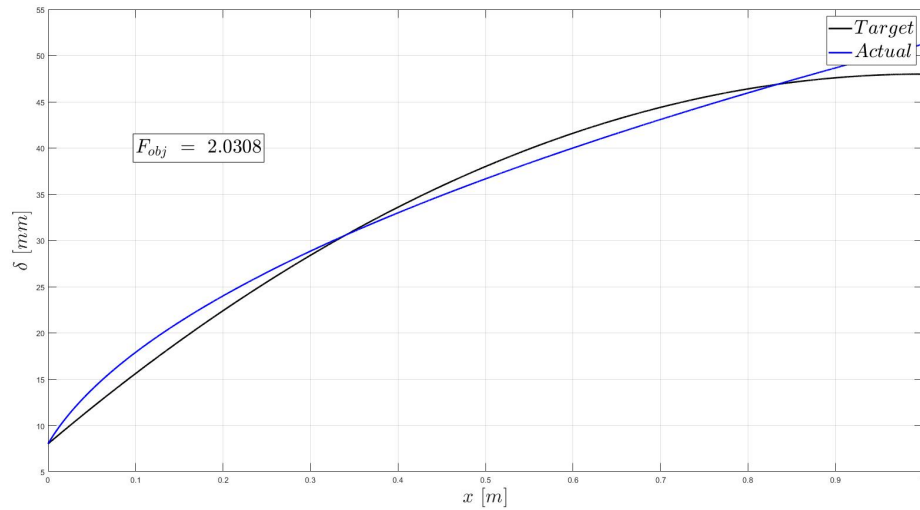
<sup>3</sup>Μάλιστα σε κεντρικές διαφορές το κόστος είναι  $2N + 1 TU$  ανά κύκλο.



Σχήμα 5: Σύγκριση σύγκλισης για διάφορες τιμές του  $\eta_{desirable}$

**χρόνου!** Φυσικά, σε ένα πρόβλημα με παραπάνω μεταβλητές σχεδιασμού, το κέρδος των συζύγων μεθόδων θα ήταν ακόμα μεγαλύτερο! Ωστόσο, προγραμματιστικά, ήταν οι πιο απαιτητικές, και συνεπώς απαιτείται επένδυση χρόνου ώστε να υλοποιηθούν.

Τέλος, παρουσιάζεται ένα διάγραμμα που δείχνει την κατανομή πάχους που επιτεύχθηκε σε σχέση με την κατανομή-στόχο, στο σχήμα 6.



Σχήμα 6: Σύγκριση κατανομή πάχους που επιτεύχθηκε σε σχέση με την κατανομή-στόχο

### 3. Τμήμα 2.2

Στο δεύτερο τμήμα της εργασίας ζητείται η εύρεση παραγώγων στη σχέση:

$$n_{s-s,C} = \Phi \left[ \frac{r^* - \Phi \varepsilon_R}{\Phi + \varepsilon_R r^*} + \frac{1 - r^* - \Phi \varepsilon_s}{\Phi + \varepsilon_s (1 - r^*)} \right] \quad (38)$$

όπου  $n_{s-s,C}$  είναι ο ισεντροπικός βαθμός απόδοσης,  $\Phi$  ο συντελεστής παροχής,  $r^*$  ο θεωρητικός βαθμός αντίδρασης και  $\varepsilon_R, \varepsilon_s$  είναι ο λόγος οπισθέλκουσας προς άνωση στα κινούμενα και σταθερά πτερύγια αντίστοιχα. Κάνοντας την παραδοχή  $\varepsilon_R = \varepsilon_s = \varepsilon$ , η σχέση έχει 3 μεταβλητές σχεδιασμού, τις  $\Phi, \varepsilon, r^*$ . Συνεπώς, οι ζητούμενες παράγωγοι είναι το gradient του  $n_{s-s,C}$ .

$$\nabla n_{s-s,C} = \left\{ \frac{dn_{s-s,C}}{d\Phi}, \frac{dn_{s-s,C}}{d\varepsilon}, \frac{dn_{s-s,C}}{dr^*} \right\} \quad (39)$$

Αυτό ζητείται να γίνει τόσο με τη μέθοδο των μιγαδικών μεταβλητών αλλά και της αυτόματης διαφορίσης. Καθώς τα αποτελέσματα ζητείται να συγκριθούν με πεπερασμένες διαφορές, αρχικά παρουσιάζεται μια σύντομη διερεύνηση του βήματος των πεπερασμένων διαφορών. Η αρχικοποίηση λήφθηκε ως:

$$\{\Phi_o, \varepsilon_o, r_o^*\} = \{0.5, 1, 0.6\}$$

η οποία στηρίζεται στο σκεπτικό πως η οπισθέλκουσα είναι ίδια με την άνωση, ενώ ο θεωρητικός συντελεστής είναι κοντά στον θεωρητικά βέλτιστο που προκύπτει όταν  $\varepsilon_R = \varepsilon_s = \varepsilon$ . Για τον συντελεστή παροχής λαμβάνεται τυχαία 0.5, με την υπόθεση πως η περιφερειακή ταχύτητα είναι μεγαλύτερη από την αξονική. Έστερα, παρουσιάζεται ένας πίνακας με τις υπολογισμένες παραγώγους στο αρχικοποιημένο σημείο, για διάφορα βήματα  $\varepsilon$ .

$\varepsilon$	$1e-8$	$1e-9$	$1e-10$	$1e-11$	$1e-12$
$\frac{dn_{s-s,C}}{d\Phi}$	-1.0098969641	-1.0098969213	-1.0098970271	-1.0098970271	-1.0098744757
$\frac{dn_{s-s,C}}{d\varepsilon}$	-0.5051525299	-0.5051525760	-0.5051525691	-0.5051525170	-0.5051965790
$\frac{dn_{s-s,C}}{dr^*}$	-0.2040608217	-0.2040608047	-0.2040608307	-0.2040607266	-0.2040555225

Πίνακας 3: Σύγκριση βήματος Πεπερασμένων Διαφορών

Από τον πίνακα 3 παρατηρείται πως για ακρίβεια 7 ψηφίων αρκεί το βήμα  $\varepsilon$  να είναι ίσο με  $\varepsilon = 1e-8$ . Για  $\varepsilon = 1e-12$  παρατηρείται πως αλλάζουν τα 5 ψηφία που για μικρότερες ακρίβειες ήταν σταθερά. Συνεπώς, για τόσο μικρή ακρίβεια αρχίζουν να λαμβάνουν χώρα σφάλματα στρογγυλοποίησης. Επίσης, ενώ φαινομενικά βελτιώνονται κάποιες παράγωγοι αν αυξηθεί το βήμα, ποτέ ξανά δεν βελτιώνονται όλες κατά τον ίδιο βαθμό.<sup>4</sup> Συνεπώς, **επειδή για διαδοχική εκλέπτυνση του βήματος, ο μέγιστος κοινός αριθμός δεκαδικών ψηφίων που ταυτίζονται είναι 7, το βήμα  $\varepsilon = 1e-8$  κρίνεται επαρκές.** Ακολουθεί ο υπολογισμός των παραγώγων με τις ζητούμενες μεθόδους.

#### 3.1 Τμήμα 2.2.α - Αλγοριθμική Διαφόριση

Αρχικά, δημιουργήθηκε ένα λογισμικό που υπολογίζει την σχέση 38 με είσοδο τις μεταβλητές σχεδιασμού. Αυτό παρουσιάζεται παρακάτω:

```

1 void nis(double F, double e, double r, double* n){
2
3 *n = F*( (r-F*e)/(F+r*e) + (1-r-F*e)/(F+e*(1-r)) );
4
5 }

```

Αυτό, εισήχθη στο λογισμικό Tapenade, επισημαίνοντας πως οι μεταβλητές σχεδιασμού είναι οι μεταβλητές  $F, e, r$ , ενώ η έξοδος είναι το  $n$  και προέκυψε ο επόμενος κώδικας τόσο για forward όσο και για reverse διαφορίση.

<sup>4</sup>Για παράδειγμα, αν συγκριθούν οι παράγωγοι με βήμα  $\varepsilon = 1e-10$  και  $\varepsilon = 1e-11$ , η πρώτη παράγωγος έχει 10 ίδια δεκαδικά ενώ η δεύτερη 7, αλλά η τρίτη έχει 6.

```

1  /*      Generated by TAPENADE      (INRIA, Ecuador team)
2      Tapenade 3.16 (develop) - 31 May 2021 11:17
3  */
4  /*      Generated by TAPENADE      (INRIA, Ecuador team)
5      Tapenade 3.16 (develop) - 31 May 2021 11:17
6  */
7  #include <adBuffer.h>
8
9  /*
10     Differentiation of nis in forward (tangent) mode:
11     variations of useful results: *n
12     with respect to varying inputs: e *n r F
13     RW status of diff variables: e:in n:(loc) *n:in-out r:in F:in
14     Plus diff mem management of: n:in
15  */
16  void nis_d(double F, double Fd, double e, double ed, double r,
17            double rd,
18            double *n, double *nd) {
19     double temp, temp0, temp1, temp2;
20     temp = F + e*(-r+1);
21     temp0 = -(F*e)-r+1)/temp;
22     temp1 = (r-F*e)/(F+r*e);
23     temp2 = temp1 + temp0;
24     *nd = temp2*Fd + F*((rd-e*Fd-F*ed-temp1*(Fd+e*rd+r*ed))/(F+r*e)
25         +(-(e*Fd)-F
26         *ed-rd-temp0*(Fd+(1-r)*ed-e*rd))/temp);
27     *n = F*temp2;
28 }
29
30 /*
31     Differentiation of nis in reverse (adjoint) mode:
32     gradient of useful results: *n
33     with respect to varying inputs: e *n r F
34     RW status of diff variables: e:out n:(loc) *n:in-out r:out
35     F:out
36     Plus diff mem management of: n:in
37  */
38  void nis_b(double F, double *Fb, double e, double *eb, double r,
39            double *rb,
40            double *n, double *nb) {
41     double temp, temp0, temp1, tempb, tempb0, tempb1, tempb2;
42     *n = F*((r-F*e)/(F+r*e)+(1-r-F*e)/(F+e*(1-r)));
43     temp = F + e*(-r+1);
44     temp0 = -(F*e)-r+1)/temp;
45     temp1 = (r-F*e)/(F+r*e);
46     tempb = F*(nb)/(F+r*e);
47     tempb1 = F*(nb)/temp;
48     tempb2 = -(temp0*tempb1);
49     tempb0 = -(temp1*tempb);
50     *Fb = (temp1+temp0)*(nb) + tempb2 - e*tempb1 + tempb0 - e*
51         tempb;
52     *nb = 0.0;
53     *eb = (1-r)*tempb2 - F*tempb1 + r*tempb0 - F*tempb;
54     *rb = tempb - tempb1 - e*tempb2 + e*tempb0;
55 }

```

Παρατηρείται πως οι είσοδοι και οι έξοδοι του προγράμματος διπλασιάστηκαν, κάτι που αποτελεί ένδειξη των έντονων απαιτήσεων μνήμης της μεθόδου αυτής.

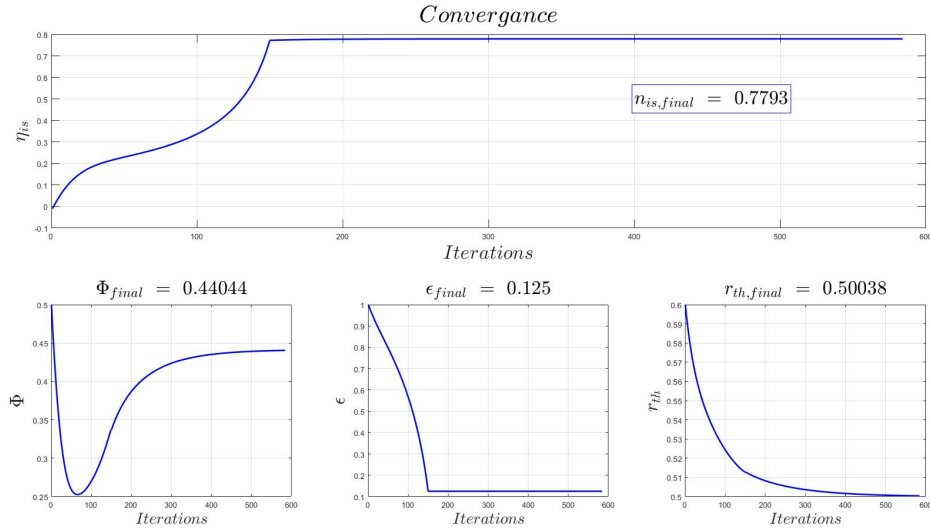
Η κύρια διαφορά των μεθόδων είναι η εξής. Η ευθεία αυτόματη διαφόριση, είναι αντίστοιχη του direct differentiation . Για να υπολογιστούν οι παράγωγοι ευαισθησίας ( $\nabla_{b_n}^F$ ), πρέπει να κληθεί 3 φορές η συνάρτηση  $n_{is\_d}$  και κάθε φορά να δίνεται σαν είσοδος σε μία από τις μεταβλητές  $Fd$ ,  $ed$   $rd$ , η μονάδα ενώ στις άλλες 2 μηδέν. ( Τα υπόλοιπα arguments της συνάρτησης συμπληρώνονται κατάλληλα.) Η παράγωγος  $\frac{\partial F}{\partial b_i}$  δίνεται από τη μεταβλητή  $nb$ . Όμως, η αντίστροφη αυτόματη διαφόριση είναι σαν το adjoint. Δηλαδή, καλείται μια φορά η ρουτίνα  $n_{is\_b}$  η οποία υπολογίζει το primal και ύστερα βρίσκει όλες τις παραγώγους ευαισθησίας (Στη μεταβλητή  $nb$  δίνεται μονάδα, ενώ οι έξοδοι αυτής της συνάρτησης είναι οι μεταβλητές  $Fb$ ,  $eb$ ,  $rb$  ). Γενικά, η αντίστροφη αυτόματη διαφόριση καλείται τόσες φορές, όσο οι αντικειμενικές συναρτήσεις. **Καθώς σε αυτό το πρόβλημα υπάρχουν 3 μεταβλητές σχεδιασμού και 1 αντικειμενική, συμφέρει περισσότερο η αντίστροφη αυτόματη διαφόριση!**

Τα αποτελέσματα παρουσιάζονται στον πίνακα 4. Παρατηρείται πως η ακρίβεια των δυο μεθόδων αυτόματης διαφόριση είναι ίδια μέχρι το δέκατο δεκαδικό ψηφίο. **Ωστόσο, στην αντίστροφη διαφόριση επιτεύχθηκε με το ένα τρίτο του κόστους!**

	$\frac{dn_{s-s,C}}{d\Phi}$	$\frac{dn_{s-s,C}}{d\varepsilon}$	$\frac{dn_{s-s,C}}{dr^*}$
FD	-1.0098969641	-0.5051525299	-0.2040608217
Algorithmic - Forward	-1.0098969493	-0.5051525355	-0.2040608101
Algorithmic - Backward	-1.0098969493	-0.5051525355	-0.2040608101

Πίνακας 4: Σύγκριση παραγώγων Αλγοριθμικής Διαφόρισης ( forward και backwards mode) με πεπερασμένες διαφορές.

Χρησιμοποιώντας τη μέθοδο της απότομης ανόδου (καθώς μιλάμε για πρόβλημα μεγιστοποίησης), και φτιάχνοντας και έναν τρόπο να διαχειρίζεται τους περιορισμούς θετικότητας των μεταβλητών, έγινε η βελτιστοποίηση του συντελεστή απόδοσης και παρουσιάζεται η σύγκλιση στο σχήμα 7.



Σχήμα 7: Βελτιστοποίηση βαθμού απόδοσης πτερυγώσεων για  $e_{min} = 0.125$

Παρατηρείται πως η τελική τιμή του βαθμού απόδοσης είναι ίδια με την θεωρητική τιμή που προκύπτει από τον τύπο (το  $e_{min} = 0.125$  επιλέχθηκε ώστε να μην τεινει αυτό στο μηδέν και ο συντελεστής  $n_{is} \rightarrow 1$ ) :

$$n_{is,max} = 1 + 2e^2 + 2e\sqrt{1 + e^2} \quad (40)$$

### 3.2 Τμήμα 2.2.β - Μιγαδική Διαφόριση

Από το Taylor ανάπτυγμα:

$$F(\mathbf{b} + d\mathbf{b}) = F + \frac{dF}{d\mathbf{b}}d\mathbf{b} + O(d\mathbf{b}^2)$$

$$F(\mathbf{b} + id\mathbf{b}) = F + i\frac{dF}{d\mathbf{b}}d\mathbf{b} + O(d\mathbf{b}^2)$$

Τελικά:

$$\frac{dF}{db_i} = \lim_{e \rightarrow 0} \text{imag} \left\{ \frac{F(b_i + ie)}{e} \right\} \quad (41)$$

Για την υλοποίηση του παραπάνω, δημιουργήθηκε μια συνάρτηση με μιγαδικά ορίσματα που υπολογίζει τον ισεντροπικό βαθμό απόδοσης από τη σχέση 38. Έστερα, δοκιμάστηκαν διάφορα βήματα του βήματος  $\varepsilon$  και τα αποτελέσματα παρουσιάζονται παρακάτω:

$\varepsilon$	1ε-4	1ε-5	1ε-6	FD - 1ε-8
$\frac{dn_{s-s,C}}{d\Phi}$	-1.0098969494	-1.0098969493	-1.0098969493	-1.0098969641
$\frac{dn_{s-s,C}}{de}$	-0.5051525354	-0.5051525355	-0.5051525355	-0.5051525299
$\frac{dn_{s-s,C}}{dr^*}$	-0.2040608101	-0.2040608101	-0.2040608101	-0.2040608217

Πίνακας 5: Σύγκριση παραγώγων με μιγαδικές μεταβλητές ανάλογα την τιμή του βήματος  $\varepsilon$

Παρατηρείται πως ήδη με βήμα  $1e - 5$  υπάρχει ακρίβεια 10 δεκαδικού ψηφίου, όταν με τις πεπερασμένες διαφορές η μέγιστη ακρίβεια που επιτεύχθηκε είναι στο 7 δεκαδικό ψηφίο. **Το σημαντικότερο όμως είναι, ότι δεν υπάρχουν σφάλματα στρογγυλοποίησης, καθώς δεν γίνεται αφαίρεση στον αριθμητή!**

## 4. Παράρτημα - Προγράμματα

Ακολουθούν οι κώδικες για πληρότητα. Ο κώδικας για το πρώτο μέρος είναι:

```
1 %%% IMPORTANT NOTES %%%
2 % Step of ODE dx must divide [0,1] into n spaces, so they would be
   n+1
3 % nodes. This is important for Simpson1-3, for the solution of the
   ODEs
4 % that come with Direct Differentiation. There, because d = d(x),
   and we
5 % do not use the analytical solution, there are 2 ways to do runge
   and
6 % kutta. Either a polynomial interpolation, so we get d in between
7 % nodes, or the solution of DD's ODEs has half the nodes. ->
8
9 %% Input
10 clc
11 clear all
12
13 %choosing method
14 method = 2; % 1 -DD, 2 - CA, 3 - DA
15
16 %Data
17 K1 = 6;
18 ue = 1; %[m/s]
19 v = 1.2; %[mm^2/s]
20 v_ue = 1.2; % *(1e-6* 10^6); in [mm^2/s];
21
22 %boundary cond
23 x1 = 0;
24 xu = 1;
25 do = (2+K1); %[mm]
26
27 %% ODE
28
29 dx= 0.0125/2/100;
30
31 d_x = @(x,d) pi^2*v/ue/( (4-pi)* d) ;
32 [d,x] = RKutta4(d_x,dx,x1,xu,do);
33
34 %target
35 ds = do*(1+10*x-5*x.^2) ;
36
37 %% optimization
38 %Initialization
39 b1(1) = 5; % *(1e-6* 10^6); in [mm^2/s];
40 b2(1) = 1 ;
41 Fold = 100000;
42
43 %FD -epsilon
44 e = 1e-7;
45
46 %relax factors
47 ia = 1; iaa=1;
48 ib = 1; ibb=1;
49 constraints_activeA = 0;
50 constraints_activeB = 0;
```



```

51
52 Number = 1000;
53 for i=1:Number
54
55     d_x = @(x,d) pi^2*(b1(i)/b2(i)) / ( (4-pi)* d ) ;
56     d = RKutta4(d_x,dx,xl,xu,do);
57
58     %Convergence Plot –
59     % uncomment code for an animation of convergence
60     %-----
61     % [d,x] = RKutta4(d_x,dx,xl,xu,do);
62     % dana = @(x) sqrt( 2*pi^2*b1(i)/b2(i)/(4-pi) * x +do^2); %
63     % d_an = dana(x);
64     % plot(x,d,x,ds,x,d_an)
65     % pause(0.1)
66
67     F = primal(b1(i),b2(i),dx,xl,xu,do,ds);
68     %% Termination Criterion
69     if abs(F-Fold)/Fold < 1e-5
70         break
71     end
72     Fold = F;
73
74     %% choosing method
75     switch method
76
77         %%----- Direct Differentiation
78         %-----
79         case 1
80             % linear odes
81             ODE1 = @(x,dh,ddb1) -pi^2*b1(i) / ( b2(i)*(4-pi)*(dh).^2 ) *
                ddb1 + pi^2/( b2(i) *(4-pi).*dh );
82             ODE2 = @(x,dh,ddb2) -pi^2*b1(i) / ( b2(i)*(4-pi)*(dh).^2 ) *
                ddb2 - pi^2*b1(i)/(b2(i)^2) *(4-pi)*dh );
83
84             % solving odes (it turns dx to 2dx) -> taking derivatives
85             [ddb1,xd] = RKutta4DD(ODE1,dx,x,d,0);
86             [ddb2,xd] = RKutta4DD(ODE2,dx,x,d,0);
87
88             %taking every second value
89             dsd = do*(1+10*x-5*x.^2) ; %d_target(x)
90             dd = d(1:2:end); %d(x)
91
92             % sensitivity derivatives
93             dd1 = Simpson1_3(xd,2*(dd-dsd).*ddb1 );
94             dd2 = Simpson1_3(xd,2*(dd-dsd).*ddb2 );
95
96             dF_db1 = dd1;
97             dF_db2 = dd2;
98             titletxt = '$Convergence\ -\ Direct\ Differentiation$';
99
100         %%----- Continuous Adjoint
101         %-----
102         case 2
103             %direct integration of adjoint eq
104             PSIOther = cumtrapz(x, 2*(d-do*(1+10*x-5*x.^2))./d );
105             PSIOther = PSIOther - PSIOther(end);

```

```

106
107 %Calculating SD
108 dfdac1 = Simpson1_3(x, -PSIother*pi^2/( (4-pi)*b2(i) ) )
109 ;
110 dfdac2 = Simpson1_3(x, +PSIother*pi^2*b1(i)/( (4-pi)*b2(i)
111 ^2 ) );
112
113 % sensitivity derivatives
114 dF_db1 = dfdac1;
115 dF_db2 = dfdac2;
116 titletxt = '$Convergence \ - \ Continuous\ Adjoint$';
117
118 %%----- Discrete Adjoint
119 %-----
120 case 3
121 [A1,A3] = primalADJ(b1(i),b2(i),dx,xl,xu,do,ds);
122 % sensitivity derivatives
123 dF_db1 = A3(1);
124 dF_db2 = A3(2);
125 titletxt = '$Convergence \ - \ Discrete\ Adjoint$';
126
127 %%----- Finite Differences
128 %-----
129 otherwise
130 Fe1 = primal(b1(i)+e,b2(i),dx,xl,xu,do,ds);
131 Fe2 = primal(b1(i),b2(i)+e,dx,xl,xu,do,ds);
132
133 dF_db1FD = (Fe1-F)/e ;
134 dF_db2FD = (Fe2-F)/e ;
135
136 % sensitivity derivatives
137 dF_db1 = dF_db1FD;
138 dF_db2 = dF_db2FD;
139
140 end
141
142 %% Correction - Constraints - 1
143 ndesirable = 10;
144 if i ==1
145 eta = ndesirable /sqrt(dF_db1^2+dF_db2^2);
146 end
147
148 limit = 1e-3;
149 AA = b1(i) - eta*dF_db1;
150 BB = b2(i) - eta*dF_db2;
151 if (AA<0 | BB<0)
152 AA = abs( (b1(i)-limit)/dF_db1 );
153 BB = abs( (b2(i)-limit)/dF_db2 );
154 if (AA<BB)
155 if constraints_activeA ==0
156 i
157 eta = AA ;
158 ia = 1/10; %relaxation
159 constraints_activeA = 1;
160 else
161 ia = 0;

```

```

161         eta = ndesirable /sqrt(dF_db1^2+dF_db1^2);
162     end
163 else
164     if constraints_activeB ==0
165         i
166         eta = BB ;
167         ib =1/10; %relaxation
168         constraints_activeB = 1;
169     else
170         ib = 0;
171         eta = ndesirable /sqrt(dF_db1^2+dF_db1^2);
172     end
173
174
175 end
176 end
177
178 %% new b
179
180 b1(i+1) = b1(i) - ia*eta/(iaa)*dF_db1;
181 b2(i+1) = b2(i) - ib*eta/(ibb)*dF_db2;
182
183
184 end
185
186 %% convergance plots
187 d_x = @(x,d) pi^2*b1(end-1)/b2(end-1)/( (4-pi)* d) ;
188 [d,x] = RKutta4(d_x,dx,xl,xu,do);
189 dana = @(x) sqrt( 2*pi^2*b1(end-1)/b2(end-1)/(4-pi) * x +do^2); %
190 d_an = dana(x);
191 plot(x,d,x,ds,x,d_an)
192
193 figure(1)
194 subplot(2,2,3)
195 plot(1:length(b1),b1(1:end),'LineWidth',2,'Color',[0 0 1])
196 %title('$Convergence$', 'Interpreter','latex','FontSize',30)
197 xlabel('$Iterations$', 'Interpreter','latex','FontSize',25)
198 ylabel('$v \ [mm^2/s]$', 'Interpreter','latex','FontSize',25)
199 text( 20,80,['$_v$-final \ = \ ',num2str( b1(end) ),'$'], 'Interpreter'
    , 'latex','FontSize',25,'BackgroundColor','w','EdgeColor','b')
200 grid on
201 subplot(2,2,4)
202 plot(1:length(b1),b2(1:end),'LineWidth',2,'Color',[0 0 1])
203 xlabel('$Iterations$', 'Interpreter','latex','FontSize',25)
204 ylabel('$u_e \ [m/s]$', 'Interpreter','latex','FontSize',25)
205 text( 20,0.96,['$_{u_e}$-final \ = \ ',num2str( b2(end) ),'$'], '
    Interpreter','latex','FontSize',25,'BackgroundColor','w','EdgeColor'
    , 'b')
206 grid on
207 subplot(2,2,1:2)
208 plot(1:length(b1),b1(1:end)./b2(1:end),'LineWidth',2,'Color',[0 0 1])
209 title(titletxt, 'Interpreter','latex','FontSize',30)
210 xlabel('$Iterations$', 'Interpreter','latex','FontSize',25)
211 ylabel('$\frac{v}{u_e} \ [10^{-3}mm]$', 'Interpreter','latex','FontSize'
    ,25)
212 text( 20,80,['$_\frac{v}{u_e}$-final \ = \ ',num2str( b1(end)./b2(end)
    ) ), '$'], 'Interpreter','latex','FontSize',25,'BackgroundColor','w',

```

```

    'EdgeColor','b')
213 grid on
214
215 figure(2)
216 [d,x] = RKutta4(d_x,dx,xl,xu,do);
217 dana = @(x) sqrt( 2*pi^2*b1(end)/b2(end)/(4-pi) * x +do^2); %
218 d_an = dana(x);
219 plot(x,ds,'LineWidth',2,'Color',[0 0 0])
220 hold on
221 plot(x,d,'LineWidth',2,'Color',[0 0 1])
222 hold off
223 text(0.1,40,['F_{obj} \ = \ ',num2str(F),'$'],'Interpreter','latex',
    'FontSize',25,'BackgroundColor','w','EdgeColor','k')
224 legend('$Target$', '$Actual$', 'Interpreter','latex','FontSize',25)
225 xlabel('$x \ [m]$', 'Interpreter','latex','FontSize',25)
226 ylabel('$\delta \ [mm]$', 'Interpreter','latex','FontSize',25)
227 grid on

```

Ο κώδικας για τους υπολογισμούς και τους κύκλους βελτιστοποίησης με την αυτόματη διαφύριση ακολουθεί παρακάτω.

```

1 #include <stdio.h>
2 #include <stdlib.h>
3
4 // Main function
5 void nisf(double F,double e, double r,double* n){
6
7 *n = F*( (r-F*e)/(F+r*e) + (1-r-F*e)/(F+e*(1-r) ) );
8
9 }
10
11 // Forward Automatic Differentiation
12 void nis_d(double F, double Fd, double e, double ed, double r,
    double rd,
13 double *n, double *nd) {
14 double temp;
15 double temp0;
16 double temp1;
17 double temp2;
18 temp = F + e*(-r+1);
19 temp0 = -(F*e)-r+1)/temp;
20 temp1 = (r-F*e)/(F+r*e);
21 temp2 = temp1 + temp0;
22 *nd = temp2*Fd + F*((rd-e*Fd-F*ed-temp1*(Fd+e*rd+r*ed))/(F+r*e)
    +(-(e*Fd)-F
23 *ed-rd-temp0*(Fd+(1-r)*ed-e*rd))/temp);
24 *n = F*temp2;
25 }
26
27 // Reverse Automatic Differantiation
28 void nis_b(double F, double *Fb, double e, double *eb, double r,
    double *rb,
29 double *n, double *nb) {
30 double temp;
31 double temp0;
32 double temp1;
33 double tempb;
34 double tempb0;

```

```

35     double tempb1;
36     double tempb2;
37     *n = F*((r-F*e)/(F+r*e)+(1-r-F*e)/(F+e*(1-r)));
38     temp = F + e*(-r+1);
39     temp0 = -(F*e)-r+1)/temp;
40     temp1 = (r-F*e)/(F+r*e);
41     tempb = F*(nb)/(F+r*e);
42     tempb1 = F*(nb)/temp;
43     tempb2 = -(temp0*tempb1);
44     tempb0 = -(temp1*tempb);
45     *Fb = (temp1+temp0)*(nb) + tempb2 - e*tempb1 + tempb0 - e*
        tempb;
46     // nb = 0.0;
47     *eb = (1-r)*tempb2 - F*tempb1 + r*tempb0 - F*tempb;
48     *rb = tempb - tempb1 - e*tempb2 + e*tempb0;
49 }
50
51 // Absolute Value
52 double absD(double a){
53     if (a > 0){
54         return a;
55     } else {
56         return -a;
57     }
58 }
59
60
61 int main(){
62     // Initialization
63     double F=0.5,e= 1,r=0.6;
64
65     // For Automatic - Forward
66     double nis,nisd1,nisd2,nisd3;
67     nisf(F,e,r,&nis);
68
69     // For Automatic - Reverse
70     double nisR,nisdR1,nisdR2,nisdR3;
71     double reverse_input = 1;
72
73     // for FD
74     double epsilon = 1e-8;
75     double nise1,nise2,nise3 ;
76     double nised1,nised2,nised3 ;
77
78     // for optimization
79     double eta =0.01;
80     double limit = 1e-8;
81     double Fo,eo,ro,Obj0;
82     Obj0 = 150;
83     // for constraints
84     double A=100,B=100,C=100;
85     int constraintsActive = 0;
86     double var1=1,var2=1,var3= 1,eta_old = 0;
87     // for records
88     double *Fdata = (double*)malloc(1000*sizeof(double)) ;
89     double *edata = (double*)malloc(1000*sizeof(double)) ;
90     double *rdata = (double*)malloc(1000*sizeof(double)) ;

```

```

91 double *nisdata = (double*)malloc(1000*sizeof(double)) ;
92 for (int i = 0; i < 1000; i++){
93     Fdata[i] = 0;
94     edata[i] = 0;
95     rdata[i] = 0;
96 }
97 int total = 0;
98
99
100 printf("F= ,%lf,e= %lf, r= %lf\n",F,e,r);
101 // Loop (max 1000 iterations)
102 for (int count = 0; count<1000;count++){
103
104     Fo = F; eo =e; ro = r;
105     printf("obj0 = %f\n",Obj0);
106
107     // General - prints
108     printf("count is %d\n",count);
109     printf("F= %lf,e= %lf, r= %lf,nis = %f\n",F,e,r,nis);
110
111     // Derivatives
112     #pragma region
113
114     // Automatic Differatiation:
115     nis_d(F,1,e,0,r,0,&nis,&nisd1);
116     nis_d(F,0,e,1,r,0,&nis,&nisd2);
117     nis_d(F,0,e,0,r,1,&nis,&nisd3);
118
119     // prints
120     printf("Automatic Differentiation - Forward:\n");
121     printf("dndF = %.10lf, dnde = %.10lf, dndr = %.10lf\n",nisd1,
122         nisd2,nisd3);
123
124     // Automatic Differatiation - Reverse:
125     nis_b(F, &nisdR1, e, &nisdR2, r,&nisdR3,
126         &nisR, &reverse_input);
127
128     // prints
129     printf("Automatic Differentiation - Reverse:\n");
130     printf("dndF = %.10lf, dnde = %.10lf, dndr = %.10lf\n",nisdR1,
131         nisdR2,nisdR3);
132
133     // Finite Differences
134     nisf(F+epsilon,e,r,&nise1);
135     nisf(F,e+epsilon,r,&nise2);
136     nisf(F,e,r+epsilon,&nise3);
137
138     nised1 = (nise1-nis)/epsilon;
139     nised2 = (nise2-nis)/epsilon;
140     nised3 = (nise3-nis)/epsilon;
141
142     // prints
143     printf("Finite Differences:\n");
144     printf("dndF = %.10lf, dnde = %.10lf, dndr = %.10lf\n",nised1,
145         nised2,nised3);
146
147     // for checking epsilon step

```

```

145     // printf("%.10lf\n %.10lf \n %.10lf\n",nised1,nised2,nised3);
146
147 #pragma endregion
148
149 // DynamicEta
150 if (count ==1 ){
151     eta = +0.01/ absD(nisd1);
152 }
153
154 // Constraints
155 if (F + eta * nisd1 < 0 | e + eta * nisd2 < 0.125 | r + eta * nisd3
    < 0){
156     A=100,B=100,C=100;
157     if (F + eta * nisd1 < 0){
158         A = (2*limit-F)/nisd1 ;
159     }
160     if (e + eta * nisd2 < 0.125){
161         B = (2*limit+0.125-e)/nisd2;
162     }
163     if (r + eta * nisd3 < 0){
164         C = (2*limit-r)/nisd3;
165     }
166     //select abs(min)
167     if (!constraintsActive) {
168         eta_old = eta;
169         constraintsActive = 1;
170         if (A>B){
171             if(B>C){
172                 eta = C;
173             }else{
174                 eta = B;
175             }
176         }else {
177             if(A>C){
178                 eta = C;
179             }else{
180                 eta = A;
181             }
182         }
183     }else {
184         eta=eta_old;
185         if (A>B){
186             if(B>C){
187                 var3 = 0;
188             }else{
189                 var2 = 0;;
190             }
191         }else {
192             if(A>C){
193                 var3 = 0;
194             }else{
195                 var1 = 0;
196             }
197         }
198     }
199 }
200

```

```

201 nisf(F,e,r,&nis);
202 Obj0  = nis;
203
204 // for records
205 Fdata[count] = F;
206 edata[count] = e;
207 rdata[count] = r;
208 nisdata[count] = nis;
209
210 // New Design Variables
211 F = F + eta* var1 * nisd1;
212 e = e + eta* var2 * nisd2;
213 r = r + eta* var3 * nisd3;
214
215 printf("-----\n");
216 nisf(F,e,r,&nis);
217 // ----- Terminating Condition
218 if ( absD(Obj0-nis) < 1e-8 ){
219     printf("ENDING! count is %d\n",count);
220     printf("F= %lf,e= %lf, r= %lf,nis = %f\n",F,e,r,nis);
221     Fdata[count+1] = F;
222     edata[count+1] = e;
223     rdata[count+1] = r;
224     nisdata[count+1] = nis;
225     total = count+1;
226     break ;
227 }
228
229 // end of loop
230 }
231
232 // Realloc for data
233 Fdata = (double*)realloc(Fdata,total*sizeof(double)) ;
234 edata = (double*)realloc(edata,total*sizeof(double)) ;
235 rdata = (double*)realloc(rdata,total*sizeof(double)) ;
236 nisdata = (double*)realloc(nisdata,total*sizeof(double)) ;
237
238 // For printing in matlab
239 FILE * fp = fopen("data.txt","w");
240
241
242 for (int i = 0; i < total; i++)
243 {
244     fprintf(fp, "%lf, %lf, %lf, %lf\n", Fdata[i],edata[i],rdata[i],
245         nisdata[i]);
246 }
247
248 fclose(fp);
249 free(Fdata);
250 free(rdata);
251 free(edata);
252 free(nisdata);
253
254
255 return 0;
256 }

```



Ο κώδικας για τους υπολογισμούς παραγώγων με τη μέθοδο των μιγαδικών μεταβλητών ακολουθεί παρακάτω:

```
1 #include <stdio.h>
2 #include <complex.h>
3
4
5 // Main function
6 void nisf(double complex F, double complex e, double complex r,
7           double complex * n){
8
9     *n = F*( (r-F*e)/(F+r*e) + (1-r-F*e)/(F+e*(1-r) ) );
10
11 }
12
13 int main(){
14     double complex F=0.5 + 0*I ,e= 1+0*I,r=0.6+0*I;
15     double complex nis,nisd1,nisd2,nisd3,nisFI,niseI,nisrI;
16     double epsilon = 1e-5;
17
18     nisf(F,e,r,&nis );
19     nisf(F+epsilon*I,e,r,&nisFI );
20     nisf(F,e+epsilon*I,r,&niseI );
21     nisf(F,e,r+epsilon*I,&nisrI );
22
23     nisd1 = nisFI/epsilon;
24     nisd2 = niseI/epsilon;
25     nisd3 = nisrI/epsilon;
26
27     // nis = nis+epsilon;
28
29     printf("n          = %.8f\n" ,creal(nis) );
30     printf("nisd1    = %.10f \n",cimag(nisd1) );
31     printf("nisd2    = %.10f \n",cimag(nisd2) );
32     printf("nisd3    = %.10f \n",cimag(nisd3) );
33
34     return 0;
35 }
```